

Modeling the volatility of the TED spread: An assessment of model forecasts with conditional heteroscedasticity.

Tinoco, Marcos

Universidad Nacional de Ingeniería Nicaragua (UNI)

12 October 2020

Online at https://mpra.ub.uni-muenchen.de/108086/MPRA Paper No. 108086, posted 02 Jun 2021 08:19 UTC

Modelando la volatilidad del diferencial TED: Una evaluación de pronósticos de modelos con heterocedasticidad condicional

Marcos Roberto Tinoco Palacios¹

Resumen

El presente trabajo evalúa los pronósticos de dos modelos para el diferencial TED², un modelo ARMA (Modelo autorregresivo de media móvil) que considera únicamente la media condicional y un modelo ARMA-GARCH-M (Modelo autorregresivo con heterocedasticidad condicional) que considera tanto la media como la varianza condicional, con el fin de determinar si existe perdida de información al no considerar la varianza en el cálculo de la media, tomando como criterios el Error cuadrático medio (ECM), la raíz del error cuadrático medio (RECM), y la prueba de Diaebold y Mariano (DM). Los resultados obtenidos señalan que todos los pronósticos muestran un ECM bastante bajo, una RECM menor que la del modelo benchmark (Modelo de caminata aleatoria) y la prueba DM señala que el modelo ARMA presenta un ajuste mejor respecto al modelo ARMA-GARCH-M. Esto nos lleva a concluir que a pesar de que la serie del diferencial TED presenta volatilidad, no se producen pérdidas significativas en los pronósticos de corto plazo, al considerar únicamente la media condicional.

Palabras claves: Modelos ARMA, Modelos GARCH-M, Media condicional, Varianza.

Abstract

This document evaluates the predictive power of two models for the TED spread, an ARMA model (Autoregressive—moving-average model) that only considers the conditional mean and an ARMA-GARCH-M model (Autoregressive model with conditional heteroscedasticity) that considers both the mean and the conditional variance, in order to determine if there is loss of information by not considering the variance in the calculation of the mean, taking as criteria the mean square error (ECM), the root mean square error (RECM), and the Diaebold and Mariano test (DM). The results obtained indicate that all the forecasts show a fairly low ECM, a lower RECM than that of the benchmark model (Random walk model) and the DM test indicates that the ARMA model presents a better fit compared to the ARMA-GARCH-M model. This leads us to conclude that despite the fact that the TED spread series presents volatility, there are no significant losses in short-term forecasts, considering only the conditional mean.

Key words: ARMA Models, GARCH-M Models, Conditional Mean, Variance.

Código JEL: C53, G10, G17

¹ El autor es egresado de Ingeniería en Economía y Negocios en la Universidad Nacional de Ingeniería. Para comentarios comunicarse al correo: mrtinoco@hotmail.es

² TED es un acrónimo para la palabra en inglés "Treasury-EuroDollar rate" o Tasa Tesorería-EuroDólar en español.

1. Introducción

El diferencial TED es de gran importancia ya que es utilizado como un indicador de riesgo que es capaz de medir la diferencia entre una tasa de deuda interbancaria sin garantía y una tasa de deuda estándar con garantía es decir el costo de financiamiento. Este indicador se presenta de forma diaria y tiene la particularidad de verse afectado por los valores de la tasa LIBOR eurodólar a 3 meses a corto plazo y la tasa de letras del Tesoro a 3 meses a corto plazo cuyos valores dependen en cierta medida de los choques sobre el mercado financiero europeo y estadounidense. Es por ello que los estudiosos están interesados en conocer, ¿Si después de alcanzar un pico a fines de 2008, la probabilidad de encontrarse en un estado de alta volatilidad basada en los diferenciales TED ha disminuido drásticamente desde ese entonces?

Este planteamiento nos lleva profundizar en el análisis de la volatilidad del diferencial TED después de la crisis del 2008. Por lo que en este trabajo se pretende indagar primeramente sobre la existencia de volatilidad en la serie del diferencial TED por medio de un análisis histórico y pruebas de heterocedasticidad condicional como la prueba LM para confirmar dicha afirmación. La existencia de volatilidad, nos lleva a verificar que el valor de la media del valor del diferencial se ve afectada por dicho componente y que por lo tanto el análisis de esta serie de tiempo requiere de dicho elemento para poder elaborar proyecciones más precisas. La literatura pertinente a este tema, ha señalado que dicha volatilidad está presente en la serie, pero poco se ha hecho hincapié en su efecto sobre la media y el valor de sus proyecciones.

Es por ello que el objetivo principal de este trabajo es comprobar la hipótesis de que, si la media del diferencial TED depende de su varianza, se pueden mejorar las proyecciones de este en el corto plazo, con la incorporación de esta varianza en el cálculo de su media. Para lograr cumplir dicho objetivo se pretende realizar una evaluación de pronósticos con el fin de determinar si los pronósticos de la media condicional en el corto plazo calculada a partir de un modelo ARMA son mejores que los pronósticos de la media y la varianza condicional estimadas simultáneamente a partir de un modelo ARMA-GARCH-M, esto incluye el análisis de la raíz cuadrada del error cuadrático medio (RECM) y la prueba de Diebold-Mariano.

2. Revisión literaria

La literatura sobre el diferencial TED nos indica que este se define formalmente como la diferencia entre la tasa LIBOR euro-dólar a 3 meses a corto plazo y la tasa de letras del Tesoro a 3 meses a corto plazo y que además puede interpretarse como la diferencia entre una tasa de deuda interbancaria sin garantía y una tasa de deuda estándar con garantía. Por lo tanto, este diferencial se considera un factor de riesgo porque captura el costo adicional (en términos de riqueza total) que tienen los agentes financieros para cubrir los gastos de financiamiento, es decir, para financiar posiciones de apalancamiento en el mercado.

En momentos en que el diferencial es alto, el costo adicional para cubrir los gastos de financiamiento aumenta y las acciones más expuestas a dificultades de financiamiento se vuelven menos atractivas para los inversores financieros. Por tanto, se requiere una prima adicional para compensar esta dificultad adicional (Westrupp, 2012).

Respecto a la evolución histórica, la literatura señala que después de alcanzar un pico a fines de 2008, la probabilidad de encontrarse en un estado de alta volatilidad basada en los diferenciales TED ha disminuido drásticamente desde principios de abril de 2009, donde se ha mantenido desde entonces. Sin embargo, González-Hermosillo & Hesse, (2009) presenta una técnica de cambio de régimen de Markov para examinar cuándo las variables clave de las condiciones del mercado global, como el VIX³, el intercambio de divisas o el diferencial TED, pasaron a un régimen de alta volatilidad, sus hallazgos apoyan la opinión de que la falla de Lehman fue un evento clave en la línea divisoria de la crisis, pero que también hubo períodos de un estado de alta volatilidad incluso antes de la falla de Lehman.

Además, siguiendo la línea de investigación de este trabajo, estudios como el de Lashgari, (2000) han revelado que el diferencial TED parece descender durante períodos de alta confianza y aumentar durante períodos de baja confianza de los inversores. Los cambios en el diferencial TED también parecen ser una fuente de volatilidad de las acciones (ver, Tse & Booth, (1996)). Así mismo, Lashgari, (2000) encuentra que la caída de los diferenciales de TED está asociada con el aumento de los mercados de valores y viceversa. Si bien este es de hecho un hallazgo interesante, la literatura académica que emplea la difusión TED lo es un poco (Bianchi, Drew, & Wijeratne, 2010).

3. Metodología

En este trabajo, los modelos empleados para la predicción del diferencial TED son un modelo ARMA para la media condicional y un modelo ARMA - GARCH-M para el cálculo conjunto de la media y la varianza condicional. Se sigue a Box & Jenkins, (1976) para identificar y estimar los componentes ARMA y se sigue a Engle, Lilien, & Robins, (1987) para modelar la volatilidad a través de un modelo GARCH-M.

3.1 Modelación de la media condicional:

Se estimará un modelo ARMA, que no tomará en consideración la volatilidad de los modelos y se presenta de la siguiente manera.

Sea $(y_t, t = 1, ..., p)$ la serie de tiempo observada y $(\varepsilon_t, t = 1, ..., q)$ un ruido blanco:

³ Chicago Board Options Exchange Market Volatility Index

$$y_t = a_0 + \sum_{i=0}^p a_i y_{t-i} + \varepsilon_t^4$$

Dónde, p define el rezago del termino auto regresivo AR(p). La media condicional de la variable de interés viene dada como:

$$Ey_t = a_0 + E \sum_{i=0}^{p} a_i y_{t-i}$$

3.2 Modelación de la varianza condicional (GARCH-M):

Partimos de la media condicional:

$$Ey_t = a_0 + E \sum_{i=0}^p a_i y_{t-i}$$

La cual a su vez depende de otros factores:

$$y_t = \beta + \delta h_t \quad con \quad \delta > 0$$

Donde h_t corresponde al proceso ARCH(q) es decir la **varianza condicional**:

$$h_t = \alpha_0 + \sum_{i=0}^q \alpha_i \, \varepsilon_{t-i}^2$$

Ya que h_t es la varianza condicional, la volatilidad en ε_t se traduce en un aumento de la varianza condicional h_t . Así mismo dado que la media condicional depende de varianza condicional, este planteamiento indica que la volatilidad en ε_t se traduce en un aumento de la media condicional.

3.3 Prueba LM para la heterocedasticidad condicional⁵:

Considerando la serie de tiempo:

$$y_t = \mu_t + \varepsilon_t$$

Donde:

 $\mu_t = Media \ condicional \ del \ proceso.$

 $\varepsilon_t = Un \ proceso \ de \ innovacion \ de \ media \ cero$

⁴ No se toman en cuenta los términos de media móvil ya que se trata de representar un proceso ARMA(p,0)

⁵ Para mayor información véase: Engle R. F., (1982)

La serie de residuos se define como:

$$\varepsilon_t = y_t - \widehat{\mu_t}$$

La hipótesis alternativa para la prueba ARCH de Engle es la auto correlación en los residuos cuadrados, dada por la regresión:

$$H_a$$
: $\varepsilon_t^2 = \alpha_0 + \alpha_1 \varepsilon_{t-1}^2 + \dots + \alpha_m \varepsilon_{t-m}^2 + \mu_t$,

donde μ_t es un proceso de error de ruido blanco y donde m denota el número de rezagos de la prueba. La hipótesis nula es:

$$H_0$$
: $\alpha_0 = \alpha_1 = \cdots = \alpha_m = 0$,

3.4 Evaluación de la Calidad de la predicción

La evaluación de los pronósticos se realizará por medio de una ventana de evaluación móvil para los siguientes horizontes: 1 y 2 días hacia adelante. Así mismo se emplea la raíz del el error cuadrático medio y la prueba de Diaebold y Mariano (DM) para determinar cuáles modelos tienen una mejor habilidad predictiva respecto al modelo benchmark (Caminata aleatoria).

4. Análisis de datos

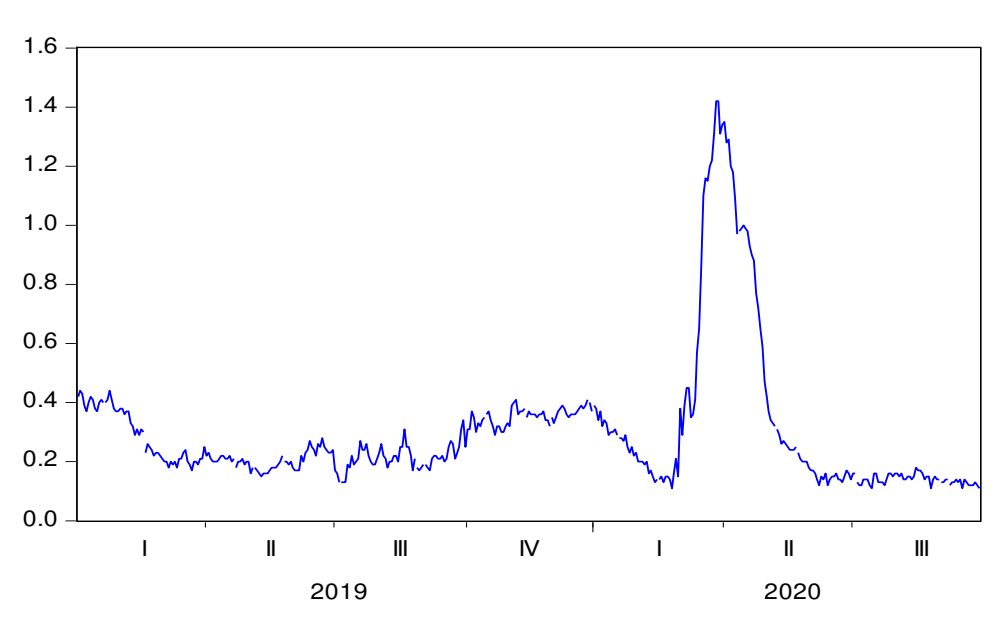
El periodo evaluado para el diferencial TED corresponde a los datos diarios que van de enero de 2019 a septiembre 2020. Para el año 2019 se observó un comportamiento bastante estable, en donde la media de los datos oscila entre 0.2 y 0.4 puntos decimales. Sin embargo, a inicios del año 2020, vemos un incremento significativo de los valores del diferencial TED, esto es el resultado de las primeras apariciones del covid-19 en territorio estadounidense y europeo creando grandes expectativas de riesgo en los mercados financieros, es decir una baja confianza de los inversores, lo que se traduce en un mayor costo de apalancamiento y un incremento del diferencial.

Dado que la serie no es estacionaria en niveles, se utilizará el logaritmo de la diferencia del rendimiento diario, la cual se calcula como: dlogTedrate = LOG(TEDRATE) - LOG(TEDRATE(-1)). Para efecto de proyecciones la variable a pronosticar es el diferencial TED en niveles (dicho de otra forma, la tasa TED).

Figura 1. Diferencial TED (enero 2019- septiembre 2020)

(Porcentaje)





Fuente: Elaboración propia con información del Federal Reserve Economic Data

5. Resultados

Utilizando la metodología box-Jenkins se identificó una especificación ARMA (p, 0) para construir el modelo univariado de pronósticos del diferencial TED. Las características de este modelo se presentan en la siguiente tabla.

Tabla 1. Estimación de la media condicional del diferencial TED

	Primer proceso
Especificación de la	$Dlog(Tedrate_t)$
ecuación	$= \beta_1 Dlog(Tedrate_{t-1}) + \beta_2 Dlog(Tedrate_{t-5})$
	$+ \beta_3 Dlog(Tedrate_{t-31}) + \varepsilon_t$
Ecuación estimada	$Dlog(Tedrate_t)$
	$= -0.22Dlog(Tedrate_{t-1}) + 0.09Dlog(Tedrate_{t-5})$
	$-0.13Dlog(Tedrate_{t-31}) + \varepsilon_t$
P-value	Pvalue_ $\beta_1 = 0.0000$
(Significancia	Pvalue_ $\beta_2 = 0.0507$
estadística)	Pvalue_ $\beta_3 = 0.0081$
Bondad de ajuste	0.074538

Criterio Akaike	-1.467455
Criterio Scharz	- 1.437350
GL	397
Errores estándar	0.115738
P-Value (Q-Test) Rezago 30	0.129

Utilizando la metodología GARCH-M se identificó el proceso GARCH (p, q) que mejor describa la varianza condicional de la variable de interés para que combinado con el modelo ARMA del apartado anterior se lograra estimar la media y la varianza condicional de forma simultánea. Las características de este modelo se presentan en la siguiente tabla.

Tabla 2. Estimación de la media y la varianza condicional del diferencial TED⁶

	Segundo proceso				
Especificación de la ecuación ARMA	$\begin{split} Dlog(Tedrate_t \) \\ &= \rho_1 Dlog(Tedrate_{t-1}) + \rho_2 Dlog(Tedrate_{t-5}) \\ &+ \rho_3 Dlog(Tedrate_{t-31}) + \varepsilon_t \end{split}$				
Especificación de la varianza condicional	$\sigma_t^2 = \omega + \alpha_1 \varepsilon_{t-1}^2 + \alpha_2 \varepsilon_{t-2}^2 +$	$-\alpha_3 \varepsilon_{t-3}^2 + \beta_1 \sigma_{t-1}^2 + \beta_2 \sigma_{t-2}^2 + \beta_3 \sigma_{t-3}^2$			
Ecuación ARMA estimada		$Tedrate_{t-1}) + 0.09Dlog(Tedrate_{t-5})$			
Ecuación de la	$-0.05Dlog(Tedrate_{t-31}) + \varepsilon_t$ $\sigma_t^2 = 0.004 + 0.16\varepsilon_{t-1}^2 + 0.22\varepsilon_{t-2}^2 + 0.27\varepsilon_{t-3}^2 - 0.45\sigma_{t-1}^2 + 0.02\sigma_{t-2}^2$				
varianza condicional	$\begin{array}{c c} o_t = 0.004 + 0.16\varepsilon_{t-1} + 0.22\varepsilon \\ + 0.47\sigma_{t-3}^2 \end{array}$	$\varepsilon_{t-2} + 0.27\varepsilon_{t-3} - 0.450_{t-1} + 0.020_{t-2}$			
estimada					
P-value	Pvalue_ $\rho_1 = 0.0024$	Pvalue_ $\alpha_1 = 0.0195$			
(Significancia estadística) ⁷	Pvalue_ $\rho_2 = 0.0561$ Pvalue_ $\rho_3 = 0.1339$	Pvalue_ $\alpha_1 = 0.0001$ Pvalue_ $\alpha_1 = 0.0001$			
esiddisiica)	$p_3 = 0.1339$	F value_ $u_1 = 0.0001$			
	Pvalue_ $\beta_1 = 0.0000$	Pvalue_ $\omega = 0.0000$			
	Pvalue_ $\beta_2 = 0.0024$				
	Pvalue_ $\beta_3 = 0.0000$				
Bondad de ajuste	0.059181				
Criterio Akaike	-1.724039				
Criterio Scharz	-1.603618				

⁶ La estimación se realizó con una distribución t de student. Para revisar los gráficos Q-Q remitirse a: 8 Anexos

⁷ Los coeficientes GARCH-M son significativos lo que indica presencia de efectos GARCH en los residuos. Los correlogramas de los residuos al cuadrado y las pruebas LM de heterocedasticidad condicional están en: 8 Anexos

GL	391
Errores estándar	0.116842
P-Value (Q-Test)	0.312
Rezago 30	

5.1 Comparación de resultados:

- Para el modelo ARMA-GARCH el coeficiente de $Dlog(Tedrate_{t-31})$ no es significativo, sin embargo todos los componentes GARCH si lo son. La bondad de ajuste es un poco mayor cuando solo se calcula la media condicional esto se ve reflejado en un menor error estándar para el primero.
- Los valores de los criterios de información de Akaike (AIC) y de Schwartz (BIC) son mayores para el modelo de ARMA-GARCH-M que para el modelo de la media condicional. Esto significa que bajo este criterio el modelo ARMA es un mejor modelo que el modelo ARMA-GARCH. Sin embargo, cabe destacar que el número de parámetros del segundo modelo es mucho mayor por lo que un valor mayor de este criterio puede ser el resultado del castigo por grados de libertad.

5.2 Evaluación de pronósticos

La evaluación de pronósticos se realizó por medio de una ventana móvil que inicia desde abril del año 2020 hasta septiembre del mismo año (100 observaciones), para los siguientes horizontes: 1 y 2 días hacia adelante. Se evaluaron los siguientes pronósticos:

- a. Los pronósticos provenientes de una caminata aleatoria (modelo benchmark)
- b. Los pronósticos provenientes del Modelo ARMA de la media condicional.
- c. Los pronósticos provenientes del Modelo ARMA-GARCH-M de la media y la varianza condicional conjunta.

El análisis grafico nos muestra que los pronósticos del modelo benchmark son mejores que los de los demás procesos utilizados, seguido de este tenemos en el mismo lugar los del modelo ARMA y los del modelo ARMA-GARCH-M. Cabe mencionar que la diferencia entre las proyecciones que incluye la varianza y las que no, son bastante pequeñas, tal es el caso que no es posible determinar gráficamente cual presenta un mejor ajuste. Como criterio de análisis tenemos que mientras más cerca este la línea de la serie de la tasa TED original mejor ajuste presenta el pronóstico.

.19 .18 .17 .16 .12 .11 10 24 15 22 29 13 20 17 8 21 M6 М8 M7 M9 SPH1 BENCHMARK SPH1_TEDRATE GH SPH1_TEDRATE_MC

Figura 2. Estimación de la media y la varianza condicional (Para h=1)

Tabla 3. Estadísticos descriptivos para evaluación de pronósticos⁸

	Modelo benchmark	ARMA(31,0) Media Condicional	ARMA(31,0)- GARCH-M (3,3)
H = 1		Conditional	
ECM	0.000260	0.000251	0.000251
RECM-REL	1	0.982586	0.982436
P – DM TEST		0.3666	0.2485
H=2			
ECM	0.000500	0.000273	0.000275
RECM-REL	1	0.656527	0.661038
P – DM TEST		0.0000	0.0000

Fuente: Elaboración propia con información del Federal Reserve Economic Data

El ECM corresponde a la perdida de información cuadrática de los pronósticos, tal como el análisis grafico lo indicaba el ECM de los modelos de la media condicional (ARMA (31,0)) y los modelos de la media y varianza condicional (ARMA (31,0)-ARCH-M (3,3)) son casi idénticos para ambos horizontes. Respecto al RECM relativo, ambos presentan un valor cercano a 1, sin embargo, para el segundo horizonte el segundo modelo presenta un RECM relativo más alto.

-

⁸ Estos estadísticos incluyen el Error Cuadrático Medio (ECM), la Raíz del Error Cuadrático Medio (RECM) relativa al modelo benchmark, y el valor p de significancia de la prueba Diaebold y Mariano (DM).

Además, los resultados de la prueba Diaebold y Mariano (DM) nos indican que para ambos modelos en el horizonte 1 no se rechaza la hipótesis nula, lo que implica que no hay una pérdida de información sobre el modelo benchmark. Sin embargo, al trabajar con 2 horizontes se rechaza la hipótesis nula y por lo tanto hay perdida de información. Por último, ya que la información presentada no produce pruebas suficientes para decir si incluir la varianza genera mejores estimaciones, realizamos la prueba DM una última vez comparando los pronósticos para ambos modelos estimados.

Tabla 4. Prueba Diaebold y Mariano para los procesos 1 y 2

	ARMA(31,0) Media Condicional	ARMA(31,0)- GARCH-M (3,3)
H = 1		
P – DM TEST	-	0.0716
H=2		
P – DM TEST	-	0.0026

Fuente: Elaboración propia con información del Federal Reserve Economic Data

6. Conclusiones

Tal como los resultados de la última prueba nos indican, si bien ambas series de pronósticos (del proceso ARMA y ARMA-GARCH) contienen la misma información para un horizonte de 1 día, en el caso de un horizonte de 2 días el modelo ARMA-GARCH no contiene toda la información que está contenida en el modelo ARMA de la media condicional lo cual explica por qué el RECM relativo respecto al modelo benchmarking del proceso 1 es menor. Sin embargo, ya que el RECM relativo de estos dos modelos es casi de 1 (0.999) no se puede dar ninguna afirmación contundente de que unos pronósticos son mejores que otros en el corto plazo.

En esta investigación se llega a la conclusión de que la media del diferencial TED si depende de su varianza incluso después de las crisis del 2008, sin embargo, también se concluye que el incluir esta varianza no hay mejora en los pronósticos de la serie al menos durante un periodo corto de tiempo. Dado lo anterior, es posible realizar pronósticos eficientes¹⁰ del diferencial TED en el corto plazo, considerando únicamente la media condicional.

⁹ Calculado como el RECM del proceso ARMA sobre el RECM del proceso ARMA-GARCH-M.

¹⁰ Los resultados para pronósticos de más largo plazo pueden variar.

7. Referencias Bibliográficas

- Bianchi, R. J., Drew, M. E., & Wijeratne, T. R. (2010). Systemic Risk, the TED Spread and Hedge Fund Returns.
- Box, G. E., & Jenkins, G. (1976). *Time series analysis: Forecasting and control.* Holden-Day, San Francisco.
- Engle, R. F. (1982). Autoregressive Conditional Heteroskedasticity With Estimates of the Variance of U.K. Inflation.
- Engle, R. F., Lilien, D. M., & Robins, R. P. (1987). Estimating Time Varying Risk Premia in the Term Structure: The Arch-M Model.
- González-Hermosillo, B., & Hesse, H. (2009). Global Market Conditions and Systemic Risk.
- Granger, C. W., & Ramanathan, R. (1984). Improved methods of combining forecasts.
- Lashgari, M. (2000). The Role of TED Spread and Confidence Index in Explaining the Behavior of Stock Prices. American Business Review.
- Tse, Y., & Booth, G. (1996). Common volatility and volatility spillovers between US and Eurodollar interest rates: Evidence from the futures market.
- Westrupp, V. (2012). The TED Spread as a Risk Factor in The Cross Section of Stock Returns.

8. Anexos

Tabla 5. Prueba de Dickey-Fuller aumentada dlog (diferencial TED)

Null Hypothesis: DLOG(TEDRATE) has a unit root

Exogenous: Constant

Lag Length: 0 (Automatic - based on SIC, maxlag=17)

		t-Statistic	Prob.*
Augmented Dickey-Fuller test statistic		-25.64773	0.0000
Test critical values:	1% level	-3.445445	
	5% level	-2.868089	
	10% level	-2.570323	

^{*}MacKinnon (1996) one-sided p-values.

Fuente: Elaboración propia con información del Federal Reserve Economic Data

Tabla 6. Correlograma dlog (diferencial TED)

Autocorrelation	Partial Correlation		AC	PAC	Q-Stat	Prob
-	 -	1	-0.215	-0.215	19.949	0.000
· 🗀	· b	2	0.115	0.072	25.627	0.000
ılı.		3	-0.003	0.038	25.630	0.000
() (1)1	4	0.011	0.010	25.679	0.000
· i a	· =	5	0.105	0.110	30.441	0.000
ı d ı	1 (1)	6	-0.052	-0.012	31.634	0.000
· þ	'bi	7	0.093	0.064	35.426	0.000
q ∙	" '	8	-0.080	-0.051	38.237	0.000
· 📙	ļ <u>'</u> ⊨	9	0.154	0.121	48.652	0.000
· þr	ļ ' þ	10	0.041	0.100	49.392	0.000
· þi	ļ ' þ '	11	0.026	0.038	49.679	0.000
ı l ı	ļ (1)	12	-0.026	-0.047	49.968	0.000
· j i	ļ ' þ '	13	0.035	0.025	50.497	0.000
' [ļ 'Þ	14	0.083	0.070	53.525	0.000
ď.	ļ <u>"</u> "	15	-0.075		56.035	0.000
1)1	ļ <u>"</u> "	16		-0.058	56.067	0.000
' ['	Պլ՝	17	-0.058		57.583	0.000
· þ i	ļ ' ļ i'	18	0.063	0.027	59.354	0.000
' ['	ļ '¶'	19	-0.026		59.650	0.000
· þ.	וַי יַוּי	20	0.061	0.044	61.339	0.000
بإا	יַוּףי וַ	21	0.027	0.062	61.681	0.000
" ['	ļ '¶'	22	-0.062		63.447	0.000
<u>_</u> p	! '!'	23		-0.015	64.737	0.000
ા '	i d i	24	-0.095		68.823	0.000
'.]]'	ļ ' <u>]</u> '	25	0.037	0.002	69.452	0.000
<u>"</u> "	l <u>'</u> l'	26	-0.062		71.221	0.000
·¶ ·	! 5'	:	-0.065		73.156	0.000
''	<u>'</u> "'		-0.004		73.162	0.000
9 '	<u> </u> "	29	-0.079		76.019	0.000
	('	30	-0.024	-0.079	76.288	0.000

Tabla 7. Correlograma de residuos – Modelo ARMA (31,0)

Autocorrelation	Partial Correlation		AC	PAC	Q-Stat	Prob*
1/1	l di	1 1	0.005	0.005	0.0091	0.924
, j a,	j , ja,	2	0.063	0.062	1.5766	0.455
, j j.	j , ja,	İз	0.026	0.026	1.8535	0.603
(1)	1 11	4	0.012	0.008	1.9095	0.752
- (-	1	5	-0.019	-0.022	2.0530	0.842
1 1		6	-0.002	-0.004	2.0550	0.915
, j a	 	7	0.058	0.061	3.4275	0.843
· () ·	'1 '	8	-0.032	-0.032	3.8528	0.870
· 🗀		9	0.139	0.133	11.720	0.230
· þa		10	0.082	0.083	14.494	0.152
, j j.	· ·	11	0.044	0.028	15.274	0.170
1(1)	'4'	12	-0.015	-0.030	15.372	0.222
· þi	ļ - p i-	13	0.060	0.049	16.835	0.207
' j i	ļ 'pī'	14	0.047	0.051	17.761	0.218
€ !	ļ € ļ∙	15	-0.086	-0.086	20.819	0.143
' ('	ļ ' ! !'	16	-0.047		21.746	0.152
' ['	1 11	17	-0.026		22.031	0.184
, j a ,	ļ ' ļ i'	18	0.047	0.045	22.940	0.193
1 1	ļ ' ! '	19	-0.006		22.956	0.239
· þ·	ļ ' ļ ī'	20	0.081	0.053	25.741	0.175
, j i	ļ ' þ '	21	0.051	0.051	26.837	0.176
110	ļ '¶'	22	-0.019		26.992	0.212
'!'	' '	23		-0.022	27.020	0.255
' ! '	ļ ' ū ļ'	24	-0.071		29.134	0.215
']'	1 1)	25	-0.006	0.023	29.148	0.258
' q '	ļ ' iļ '	26	-0.057		30.558	0.245
' ¤ '	! ■ '	27	-0.079		33.251	0.189
' ('	ļ '¶'	28	-0.041		33.956	0.202
' ¤ '	ļ ' ! !'		-0.078		36.579	0.157
	q :	30	-0.073	-0.092	38.858	0.129

Tabla 8. Correlograma de residuos – Modelo ARMA (31,0)-GARCH-M (3,3)

Autocorrelation	Partial Correlation		AC	PAC	Q-Stat	Prob*
10	l di-	1	-0.032	-0.032	0.4209	0.516
· ji ·	j - <u>j</u> r	2	0.028	0.027	0.7285	0.695
1 1		3	0.000	0.002	0.7285	0.866
, þ .	'b'	4	0.048	0.048	1.6759	0.795
() (• •	5	0.012	0.015	1.7374	0.884
· d ·	'4 '	6	-0.058	-0.060	3.1154	0.794
· þi	' b'	7	0.077	0.073	5.5325	0.595
€ i	(·	8	-0.098	-0.094	9.4055	0.309
· ⊨	·⊨	9	0.158	0.152	19.615	0.020
· þi	'bi'	10	0.045	0.062	20.442	0.025
1 1		11	0.007	-0.003	20.463	0.039
1)1		12	0.015	0.018	20.555	0.057
· Þ.	ļ ' þ '	13	0.072	0.069	22.693	0.046
٠ إ ١٠	יוֹניי	14	0.053	0.032	23.845	0.048
ι ų :	' ('	15	-0.059	-0.031	25.290	0.046
' ('	.	16	-0.041	-0.074	25.982	0.054
' ('	' ('	17		-0.028	26.651	0.063
٠ ١ ٠ نال	יווי	18	0.049	0.035	27.643	0.068
1)11	' '	19	0.010	0.007	27.686	0.090
' P '	' P'	20	0.078	0.082	30.211	0.066
٠ ال	' '	21	0.045	0.052	31.078	0.072
1111	'4 '	22	-0.023		31.302	0.090
٠ ال	' '	23	0.045	0.017	32.160	0.097
'4' '	'¶'	24	-0.049	-0.052	33.193	0.100
٠ إ ا	' '	25	0.040	0.043	33.885	0.110
'¶'	<u> </u>	26	-0.044		34.706	0.118
' ! '	! ₫'	27	-0.069		36.742	0.100
<u>'</u>	<u> </u>	28	-0.021		36.927	0.120
' <u>"</u> '	ļ <u>"</u>	29	-0.078		39.579	0.091
·(1)	Į 'Ų'	Į 30	-0.025	-0.061	39.860	0.108

Tabla 9. Estimación de diferencial TED – ARMA (31,0)

Dependent Variable: DLOG(TEDRATE)

Method: Least Squares

Sample (adjusted): 2/19/2019 9/28/2020 Included observations: 397 after adjustments

Variable	Coefficient	Std. Error	t-Statistic	Prob.
DLOG(TEDRATE(-1)) DLOG(TEDRATE(-5)) DLOG(TEDRATE(-31))	-0.221696 0.095147 -0.133310	0.048495 0.048551 0.050071	-4.571522 1.959753 -2.662417	0.0000 0.0507 0.0081
R-squared Adjusted R-squared S.E. of regression Sum squared resid Log likelihood Durbin-Watson stat	0.074538 0.069840 0.115738 5.277701 294.2899 1.975342	Mean dependent var S.D. dependent var Akaike info criterion Schwarz criterion Hannan-Quinn criter.		-0.002527 0.120004 -1.467455 -1.437350 -1.455530

Fuente: Elaboración propia con información del Federal Reserve Economic Data

Tabla 10. Estimación de diferencial TED – ARMA (31,0)-GARCH-M (3,3)

Dependent Variable: DLOG(TEDRATE)

Method: ML ARCH - Student's t distribution (BFGS / Marquardt steps)

Sample (adjusted): 2/19/2019 9/28/2020

Variable	Coefficient	Std. Error	z-Statistic	Prob.
GARCH DLOG(TEDRATE(-1)) DLOG(TEDRATE(-5)) DLOG(TEDRATE(-31))	-0.125933 -0.154442 0.093935 -0.052906	0.370486 0.050807 0.049181 0.035300	-0.339912 -3.039791 1.909972 -1.498767	0.7339 0.0024 0.0561 0.1339
	Variance	Equation		
C RESID(-1)^2 RESID(-2)^2 RESID(-3)^2 GARCH(-1) GARCH(-2) GARCH(-3)	0.004502 0.161861 0.218278 0.266364 -0.453990 0.015098 0.470209	0.001013 0.069271 0.056073 0.066818 0.071026 0.004964 0.044280	4.444404 2.336625 3.892756 3.986384 -6.391925 3.041363 10.61896	0.0000 0.0195 0.0001 0.0001 0.0000 0.0024 0.0000
R-squared Adjusted R-squared S.E. of regression Sum squared resid Log likelihood Durbin-Watson stat	0.059181 0.051999 0.116842 5.365279 354.2218 2.086249	Mean dependent var S.D. dependent var Akaike info criterion Schwarz criterion Hannan-Quinn criter.		-0.002527 0.120004 -1.724039 -1.603618 -1.676337

Figura 3. Gráfico Q-Q para distribución normal – ARMA (31,0)-GARCH-M (3,3)

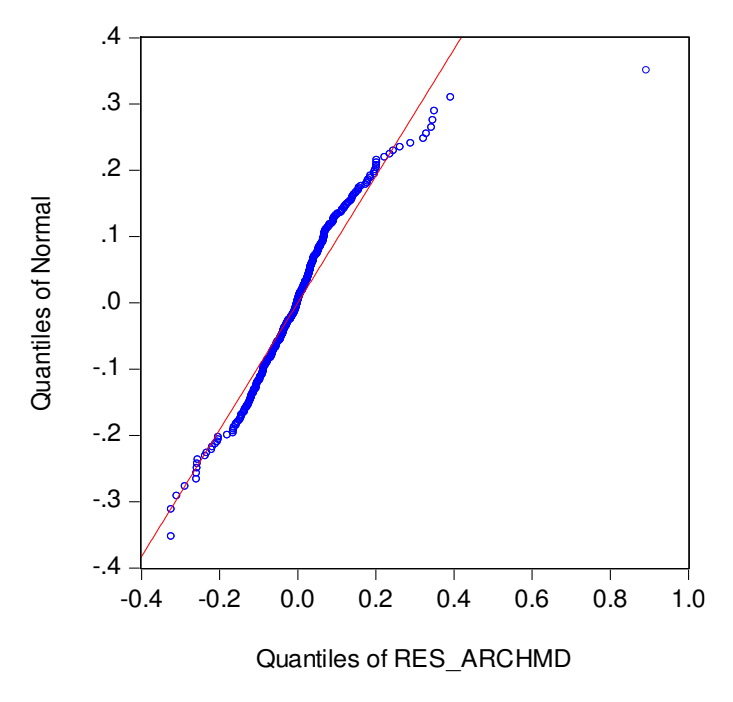


Figura 4. Gráfico Q-Q para distribución t de Student – ARMA (31,0)-GARCH-M (3,3)

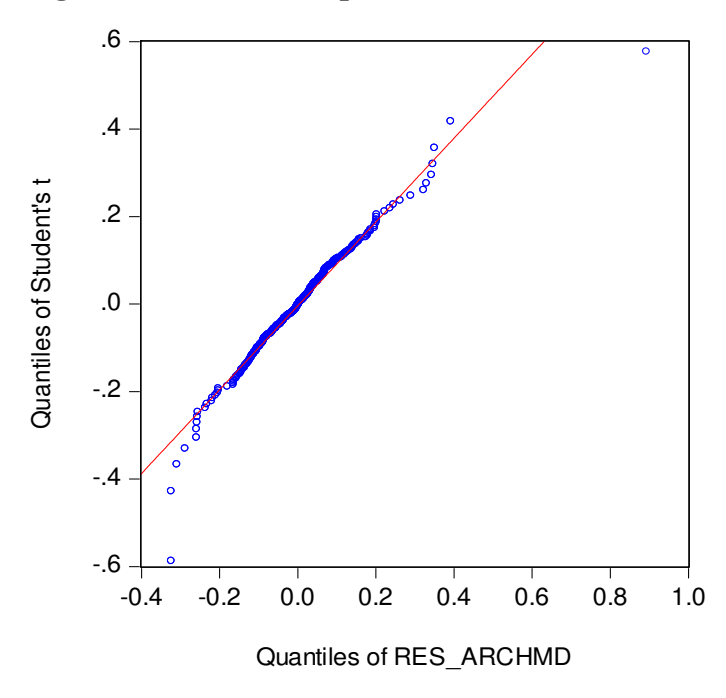


Tabla 11. LM ARCH-TEST de los residuos - Modelo ARMA (31,0)

Test Equation:

Dependent Variable: RESID^2

Method: Least Squares

Sample (adjusted): 2/22/2019 9/28/2020 Included observations: 394 after adjustments

Variable	Coefficient	Std. Error	t-Statistic	Prob.
C RESID^2(-1) RESID^2(-2) RESID^2(-3)	0.008497 0.067664 0.164613 0.123979	0.002322 0.050228 0.049658 0.050127	3.659507 1.347130 3.314954 2.473312	0.0003 0.1787 0.0010 0.0138
R-squared Adjusted R-squared S.E. of regression Sum squared resid Log likelihood F-statistic Prob(F-statistic)	0.057017 0.049763 0.041572 0.673994 696.0025 7.860411 0.000042	Mean dependent var S.D. dependent var Akaike info criterion Schwarz criterion Hannan-Quinn criter. Durbin-Watson stat		0.013219 0.042646 -3.512703 -3.472334 -3.496707 2.002189

Fuente: Elaboración propia con información del Federal Reserve Economic Data

Tabla 12. LM ARCH- TEST de los residuos - Modelo ARMA (31,0)

Test Equation:

Dependent Variable: WGT_RESID^2

Method: Least Squares

Sample (adjusted): 2/22/2019 9/28/2020 Included observations: 394 after adjustments

Variable	Coefficient	Std. Error	t-Statistic	Prob.
C WGT_RESID^2(-1) WGT_RESID^2(-2) WGT_RESID^2(-3)	0.991991 -0.005079 -0.021259 0.024404	0.126464 0.050605 0.050583 0.050500	7.844056 -0.100364 -0.420285 0.483251	0.0000 0.9201 0.6745 0.6292
R-squared Adjusted R-squared S.E. of regression Sum squared resid Log likelihood F-statistic Prob(F-statistic)	0.001088 -0.006596 1.808497 1275.558 -790.4950 0.141634 0.934986	Mean dependent var S.D. dependent var Akaike info criterion Schwarz criterion Hannan-Quinn criter. Durbin-Watson stat		0.990265 1.802562 4.032969 4.073338 4.048966 2.002284

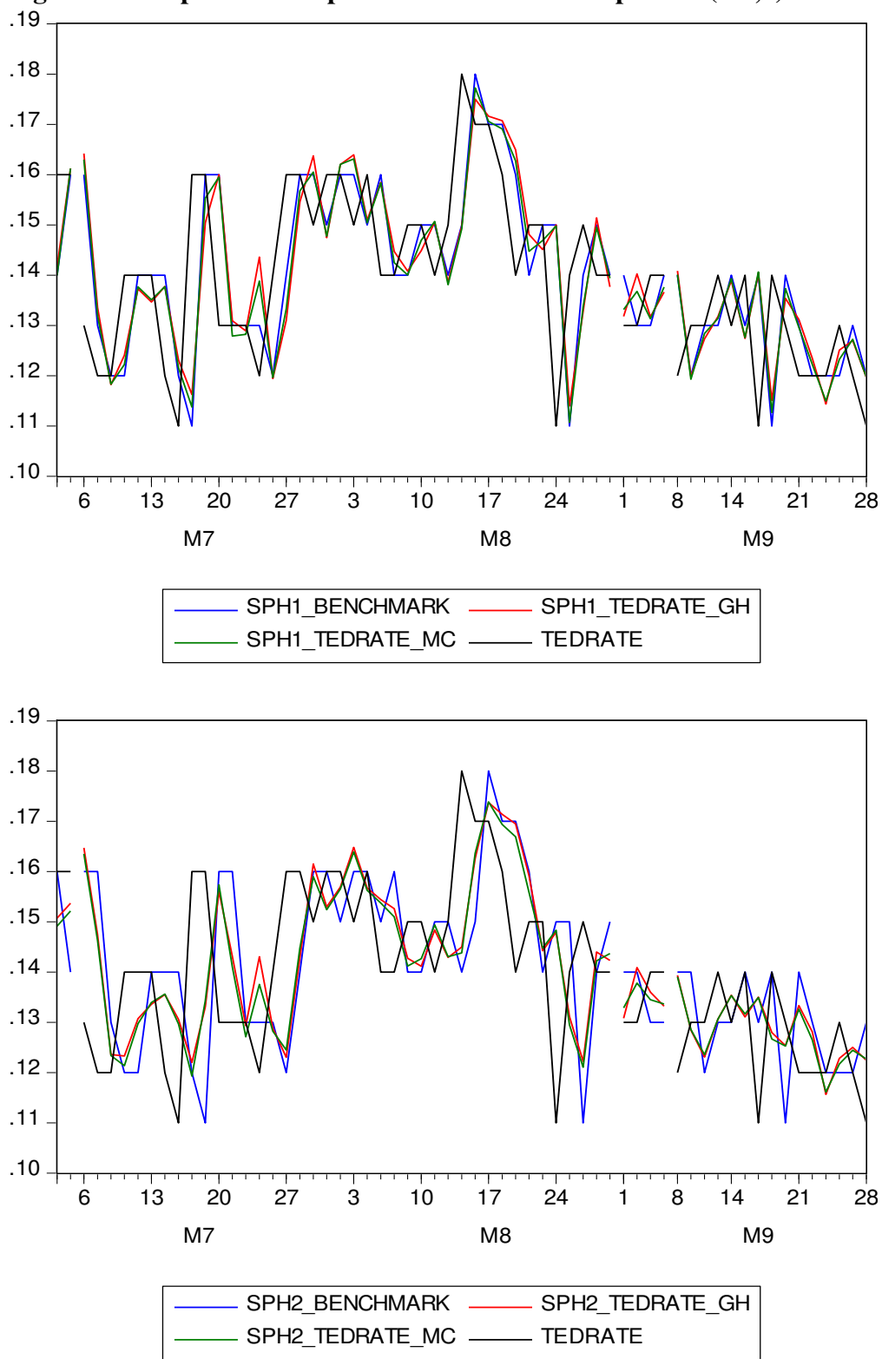


Figura 5. Comparación de pronósticos de inflación para hi (i=1,2)